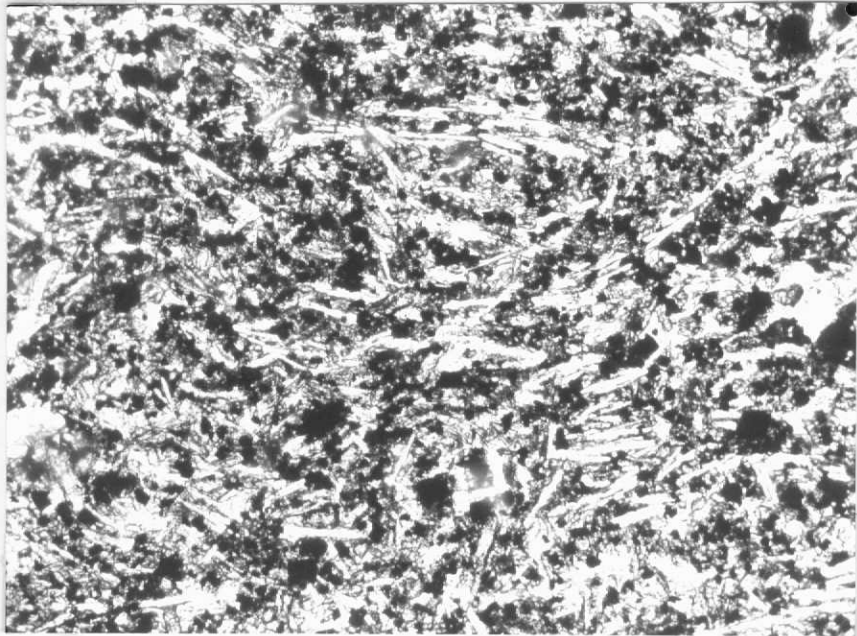


3940-AD FH-821.- Piroclastos Serie III. Km. 35,5.

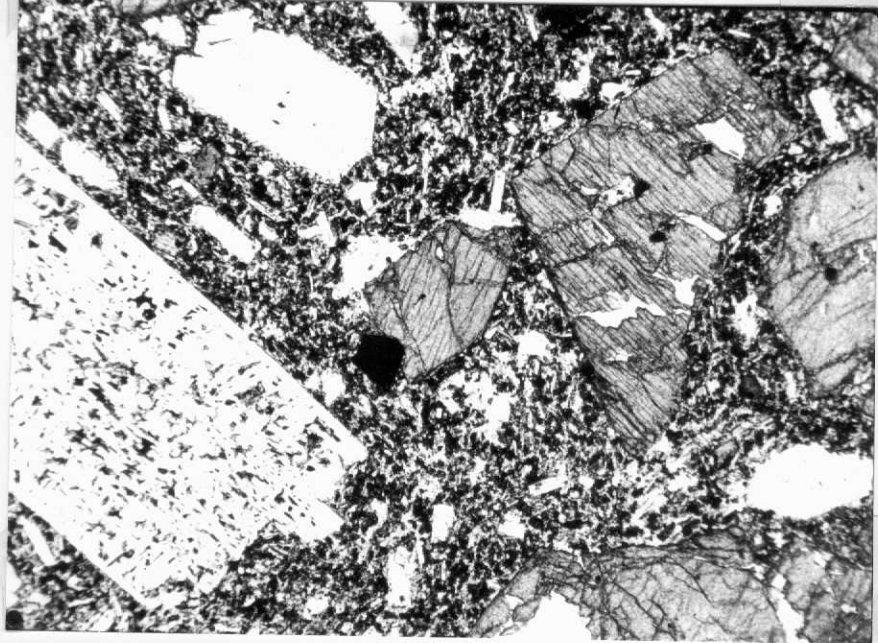


3940-AD FH-822.- Piroclastos Serie III sobre aglomerados
Serie II. Carretera de La Dorsal.





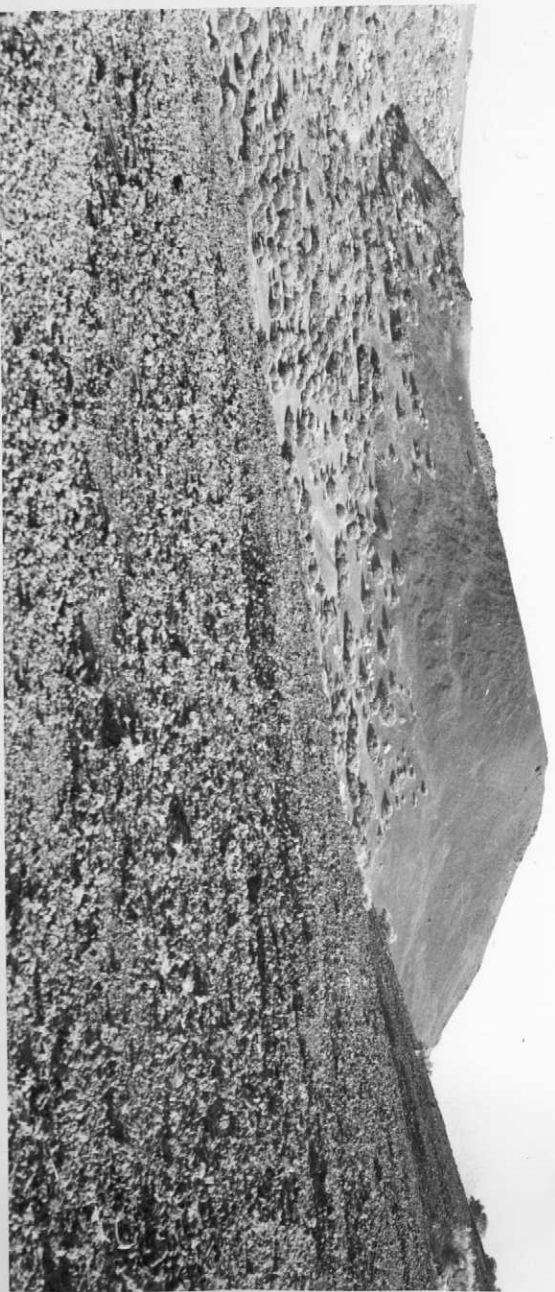
3940-AD-NL-502.- Abundantes microlitos de plagioclasea fluidal con pequeños piroxenos y opacos. LN x 32.



3940-AD-NL-531.- Fenocristales de augita, plagioclasa y olivino en una matriz muy cristalina con plagioclasa, piroxeno, olivino y opacos. LN x 10.



3940-AD-NL-538.- Fenocristales de augita y olivino en una matriz microcristalina formada por plagioclasa, piroxeno, olivino y grandes opacos. LN x 10.



3940-AD-OE-212.- Montaña del Pastelito. Cono basáltico
de la Serie III. Próximo a la Montaña
de los Mallorquines.



3940-AD-OE-213.- Montaña de los Atajos. Cono basáltico de
la Serie III. Falda N de la Montaña de
los Malloquines.

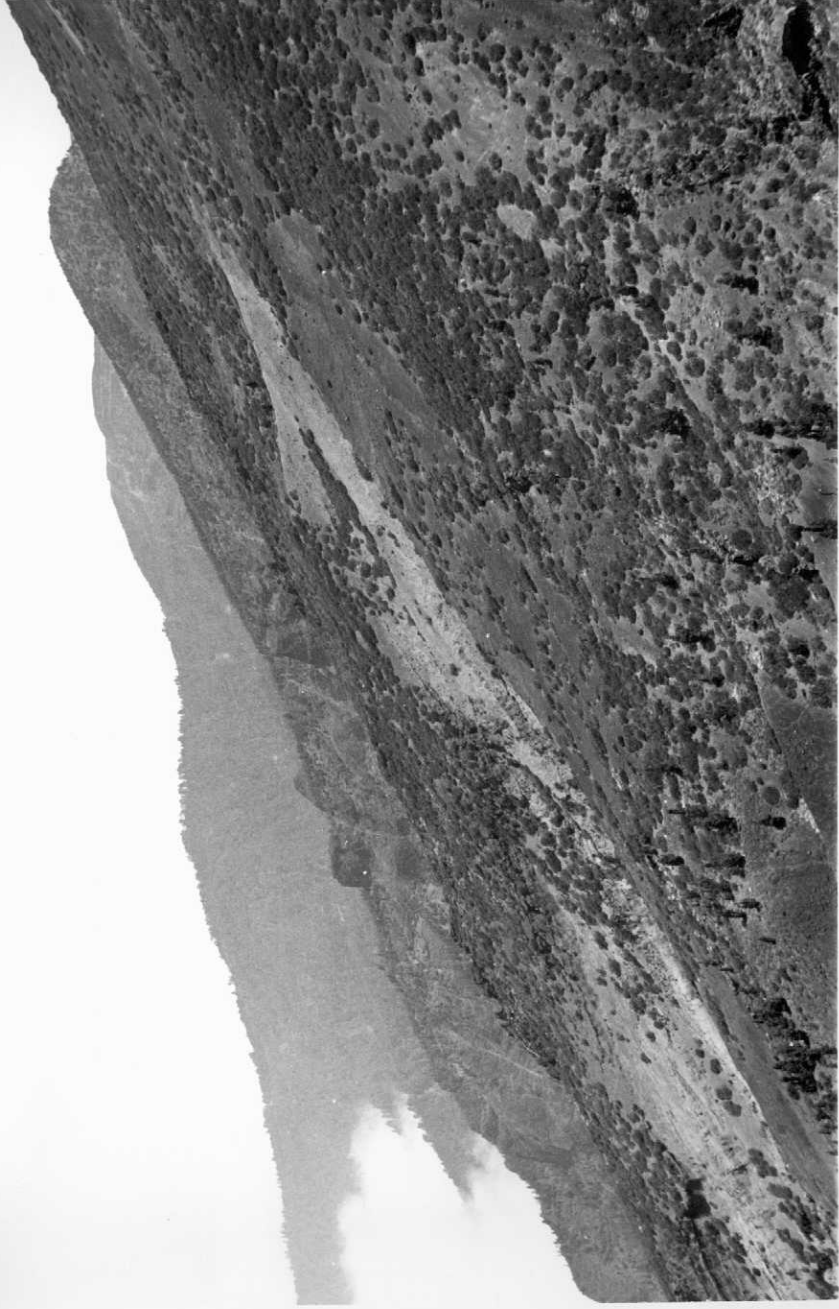


3940-AD-OE-214.- Piroclastos basálticos con pumitas intercaladas. Pista del Km. 38 de la Carretera del Portillo a La Laguna.

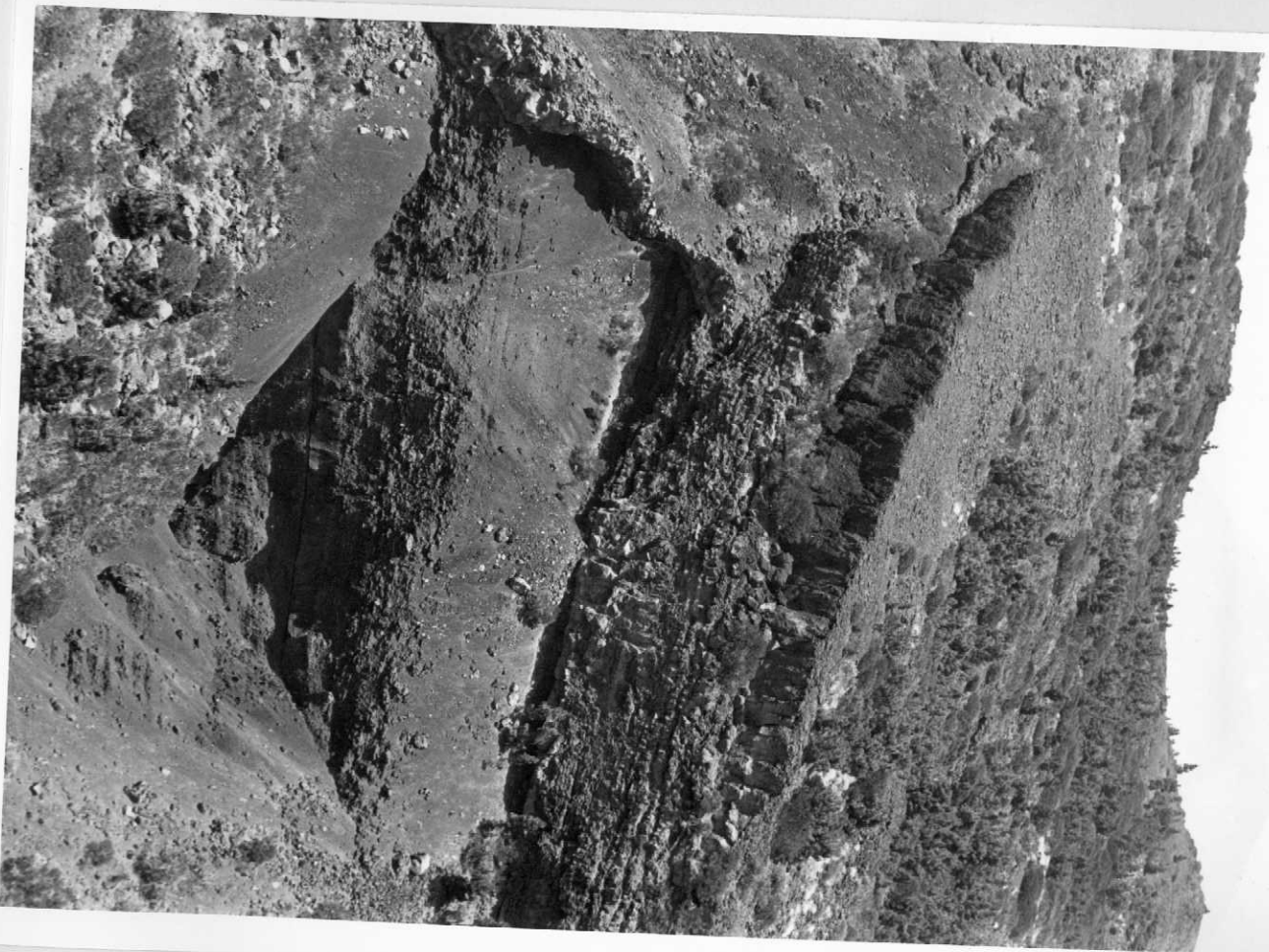


3940-AD-OE-215.- Izaña, Coladas y piroclastos de la Serie

III. Vista desde la Montaña del Limón.



3940-AD-OE-216.- Cordillera dorsal formada fundamentalmente por conos de piroclastos. Vista desde la Montaña del Lindón.



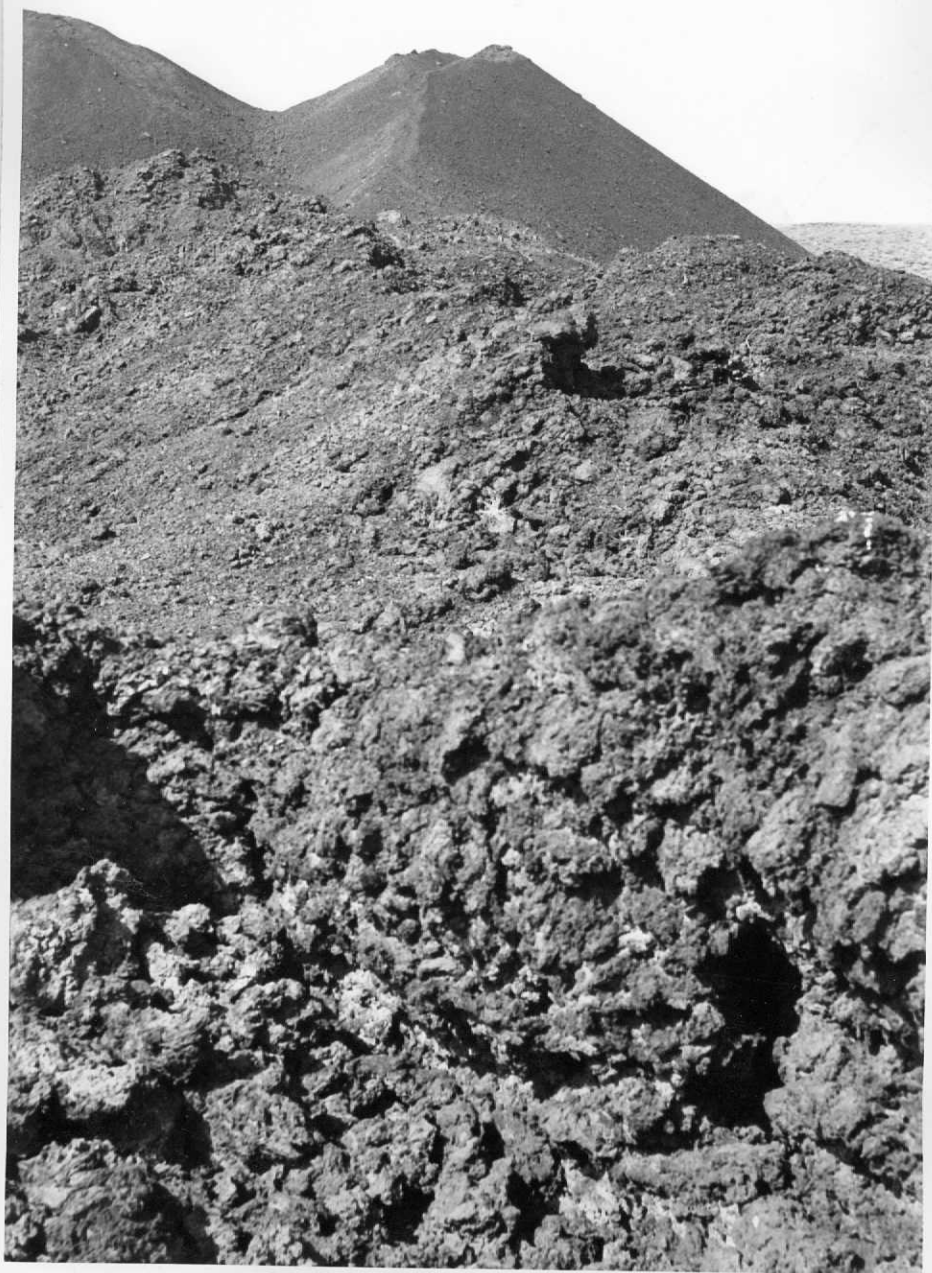
3940-AD-OE-217.- Montaña del Limón y escarpe de coladas
de la Serie III en el Barranco del Arras-
tradero.



3940-AD-OE-219.- Coladas basálticas procedentes de la Mon
taña de las Vacas, apoyándose sobre pumi
tas.



3940-AD-OE-220.- Volcán de Fasnía, de edad histórica.



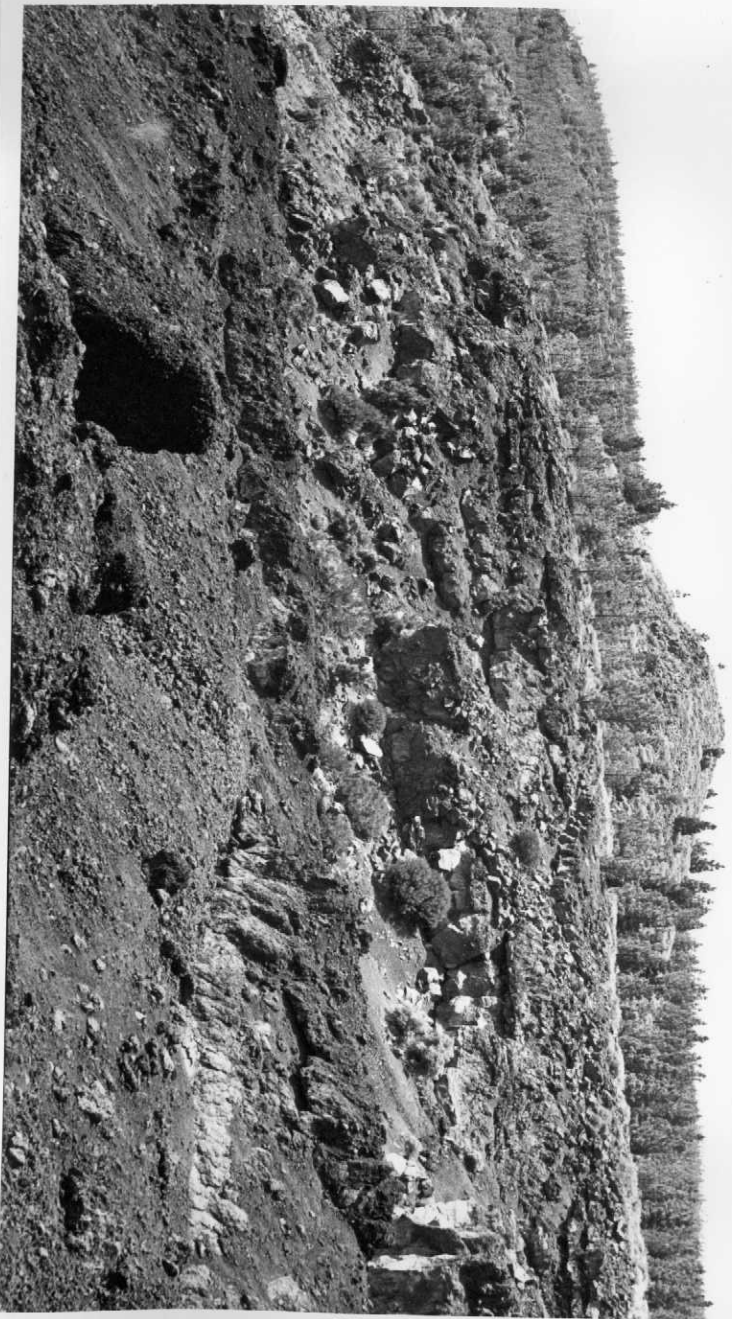
3940-AD-OE-221.- Alineación de hornitos del volcán de Fasnía.



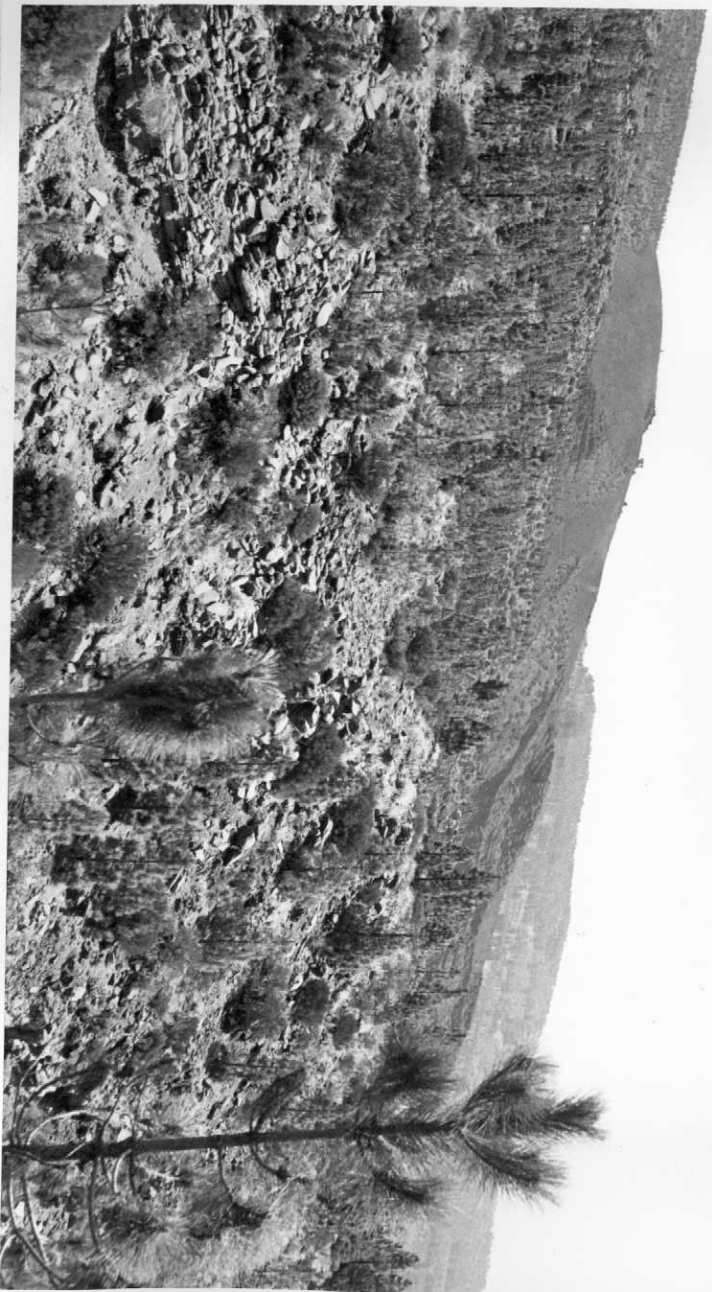
3940-AD-0E-222.- En primer término, hornito de la erupción
histórica de Montaña de Fasnía. En el cen-
tro Montaña de las Vacas y al fondo El
Teide.



3940-AD-0E-223.- Coladas histórica procedente del volcán
de Fasnía. Cota 2.080 m.



3940-AD-OE-225.- Coladas de la Serie III en Las Laderas,
al N del Barranco de Las Campanitas.



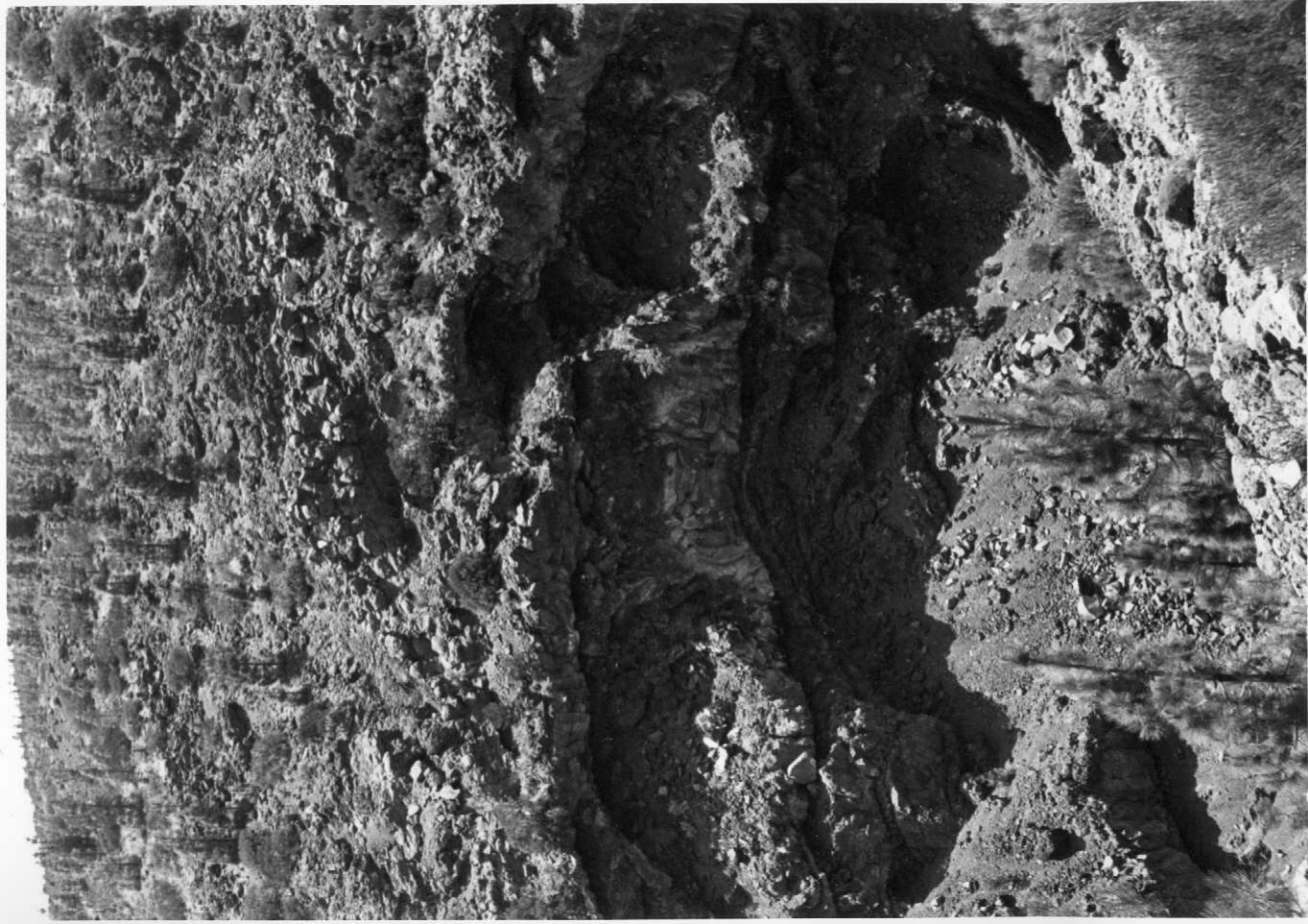
3940-AD-OE-226.- Cono de Montaña Bermeja.



3940-AD-OE-227.- Coladas de la Serie III en la margen derecha del Barranco de Las Campanitas. Cota 1.950 m.



3940-AD-OE-228.- Capas de pumitas intercaladas entre los basaltos de la Serie III en el Barranco del volcán. Cota 1.920 m.



3940-AD-OE-229.- Coladas de la Serie III en la margen izquierda del Barranco del Palmero. Cota 1.970 m.



3940-AD-OE-230.- Coladas de la Serie III en la margen izquierda del Barranco del Palmero.



3940-AD-0E-231.- Cono piroclástico de la Serie III de la
Montaña de los Mallorquines. Al fondo
El Teide.



3940-AD-OE-232.- Ladera de Montaña de Izaña formada por coladas y piroclastos de la Serie III.





3940-AD-OE-233.- Coladas de la Serie II en el Pico del

Valle de Cho Marrial.

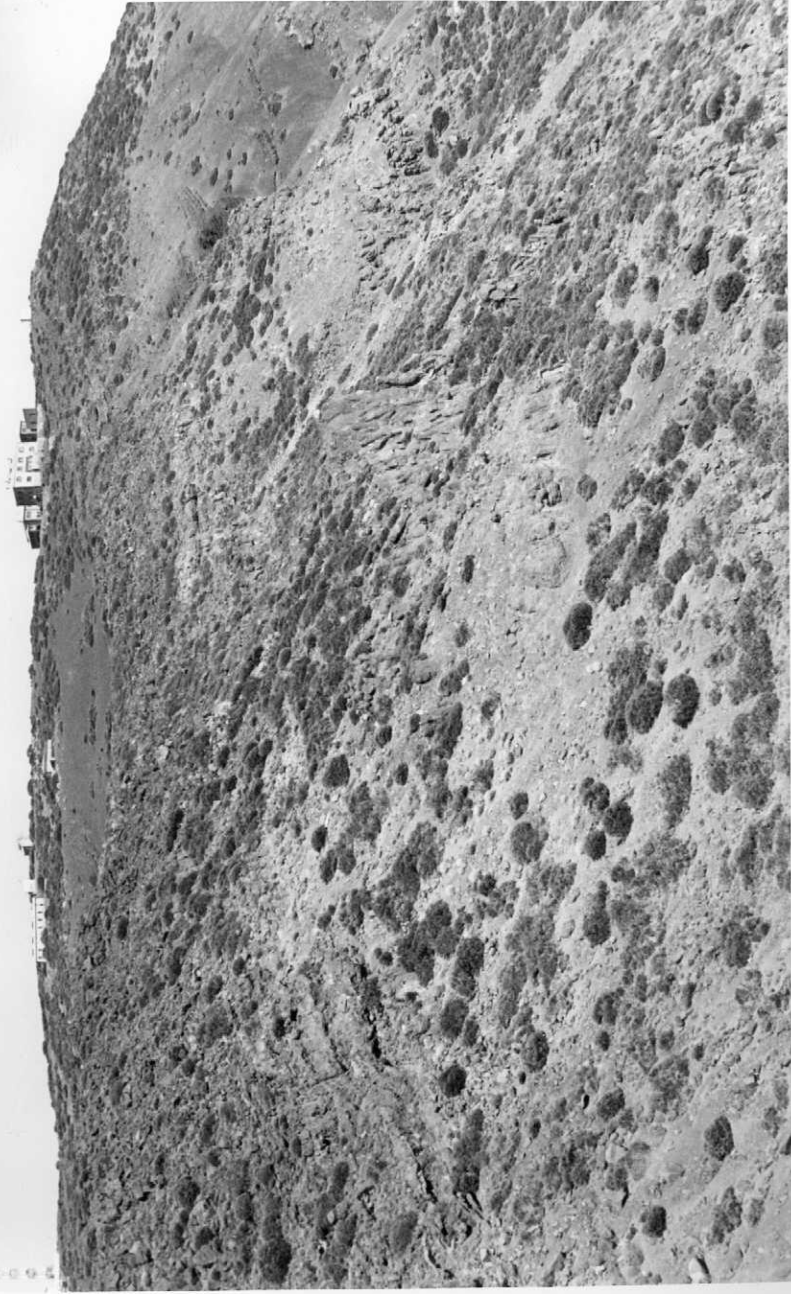




3940-AD-OE-234.- Dique atravesando coladas basálticas en la zona de la Fuente del Mal Abrigo.



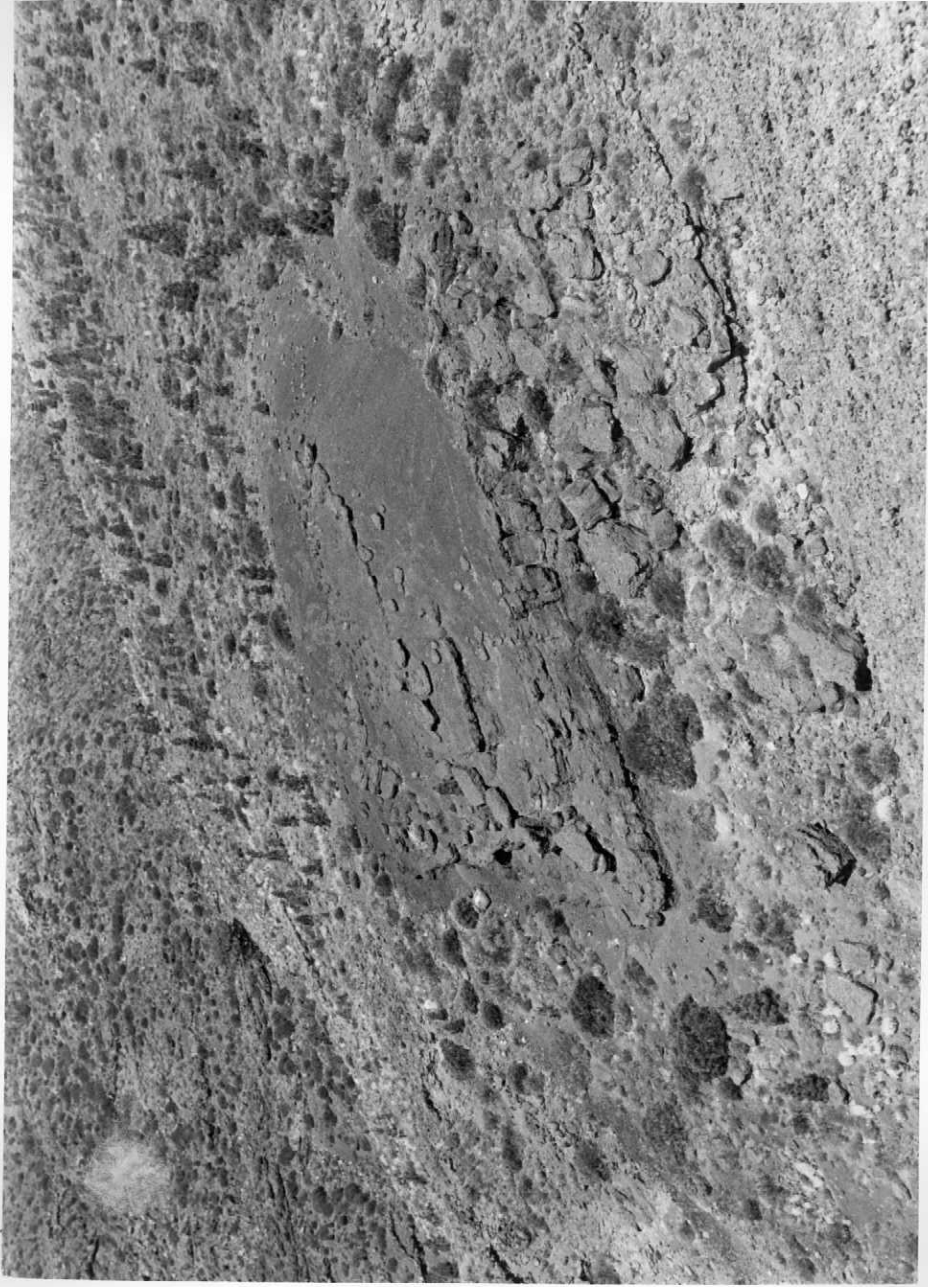
2000



3940-AD-OE-235.- Coladas de la Serie III en la ladera NW
de la Montaña del Cobre.



3940-AD-OE-236.- Valle de Güimar ocupado por coladas de
la Serie III, y Pico del Cho Marrial
(Serie III).



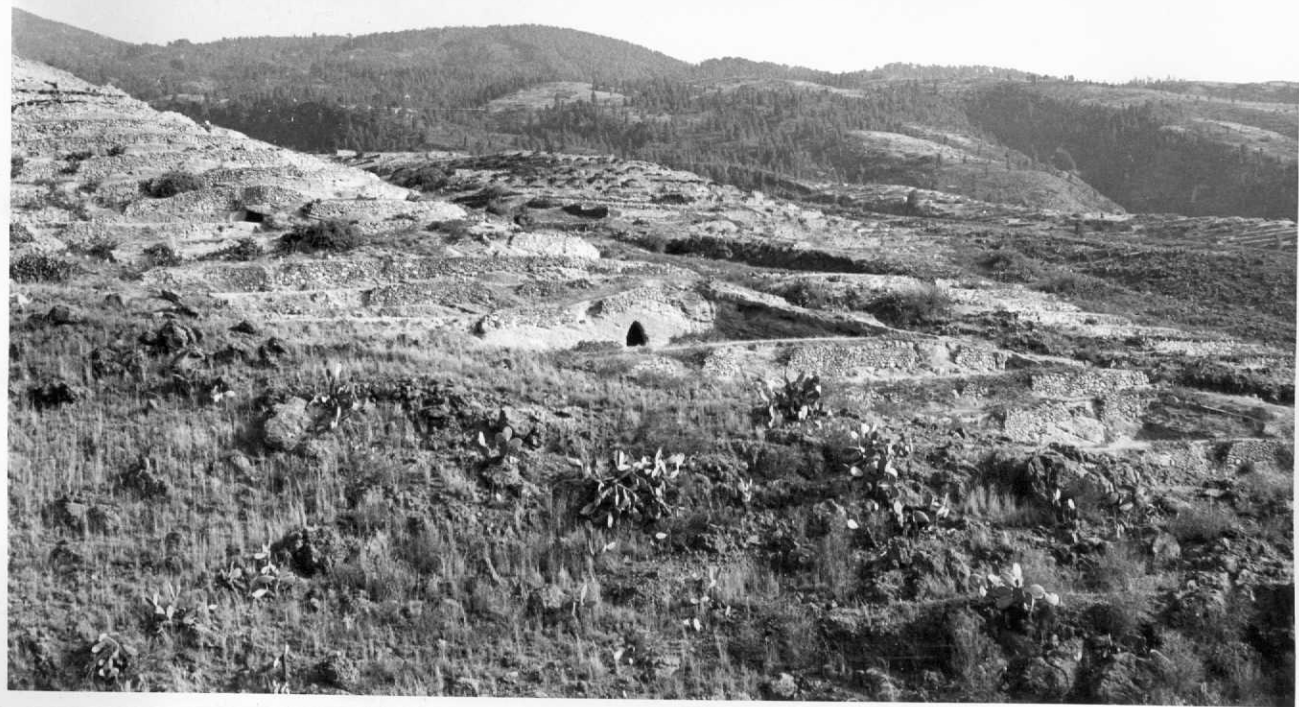
3940-AD-0E-237.- Piroclastos formando un gran cono de la
Serie III Montaña Colorada.



3940-AD-OE-239.- Zona de cabecera del Valle de Güimar.



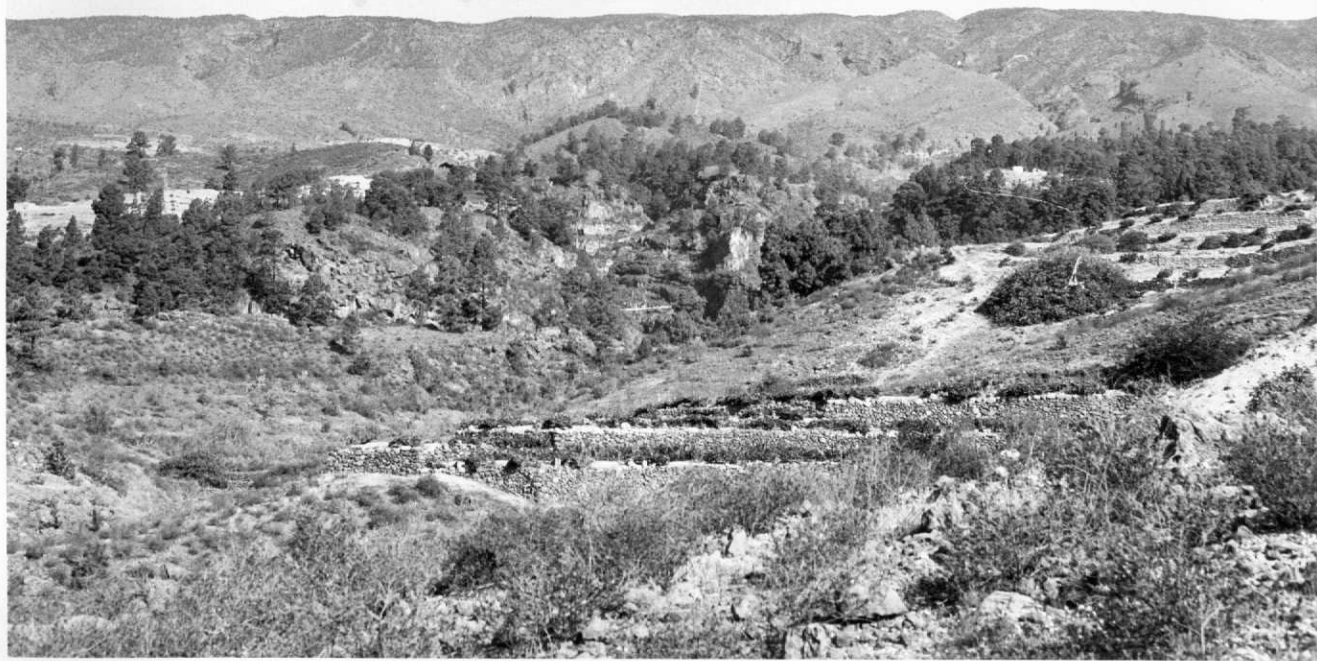
3940-AD-OE-240.- Coladas de Serie III en la Montaña de
Arguazo desde el Llano de las Chozas.



3940-AD-OE-241.- Lomos de pumitas en el camino del Arras-
tradero. Cota 780 m.



3940-AD-OE-242.- Lomos de pumitas en el camino del Arras_
tradero. Cota 900 m.

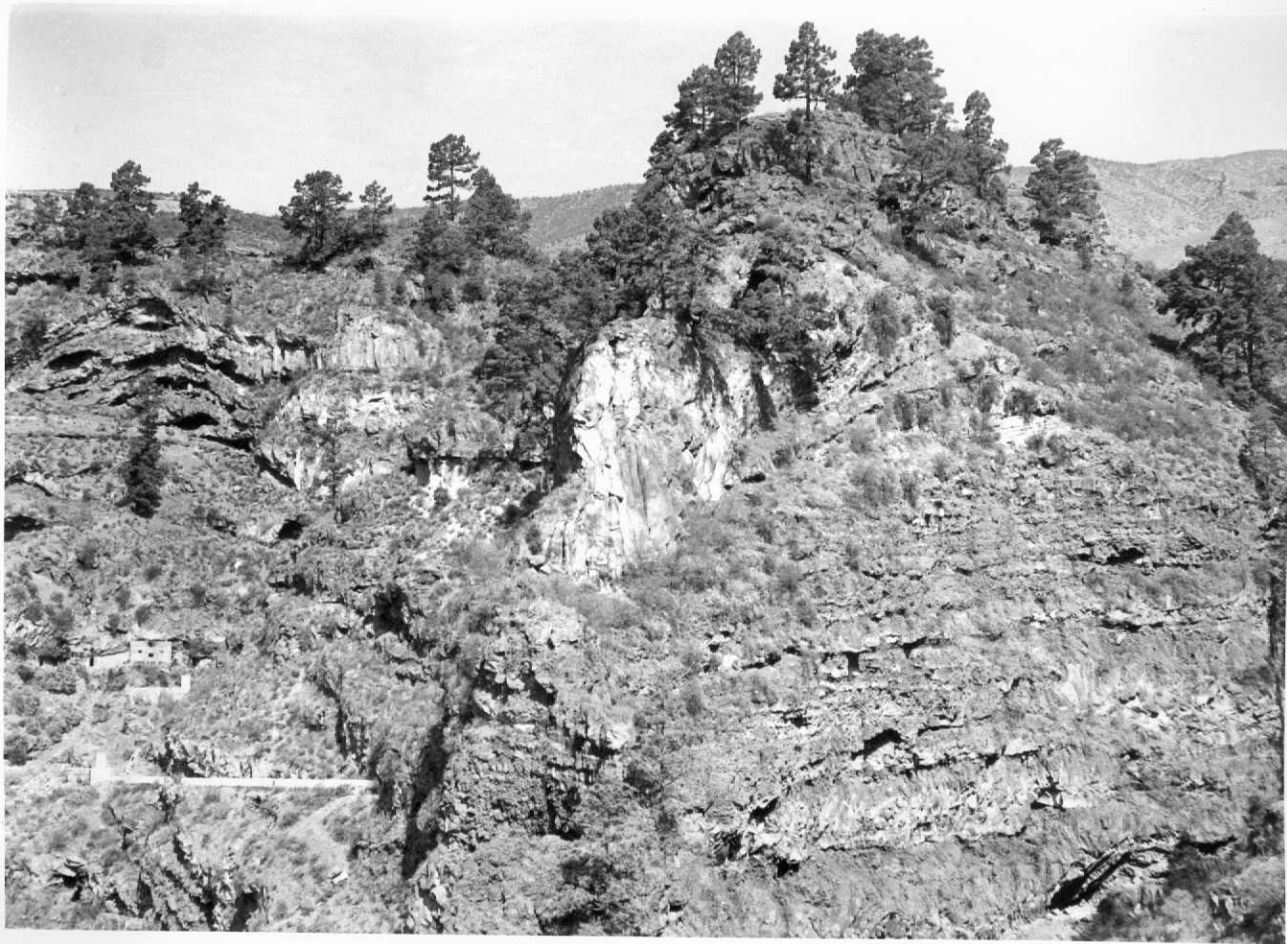


3940-AD-OE-244.- Coladas y pumitas en la Montaña de
Archifira.

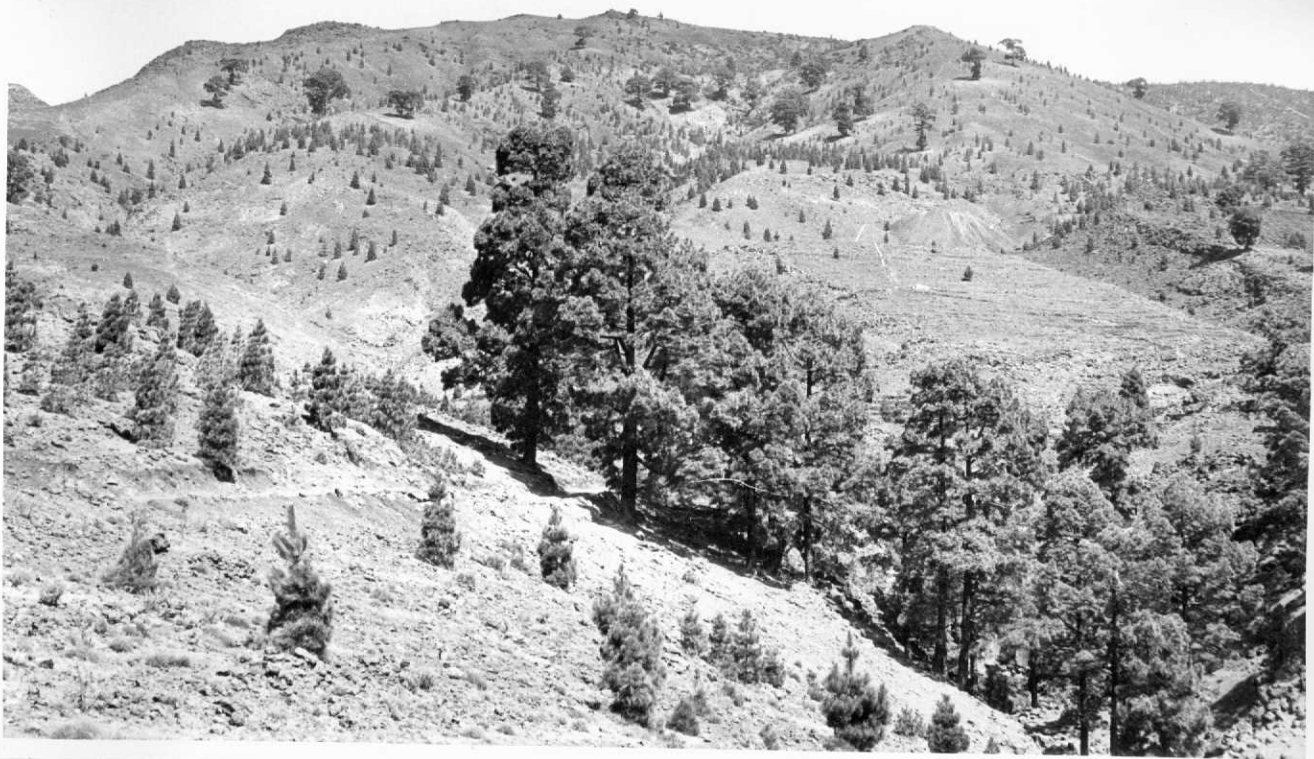




3940-AD-OE-245.- Coladas basálticas Serie III y Serie II
en el Barranco de Herques.



3940-AD-OE-246.- Coladas basálticas de la Serie III y la Serie II en la confluencia de los Barrancos de Archifira y Herques.



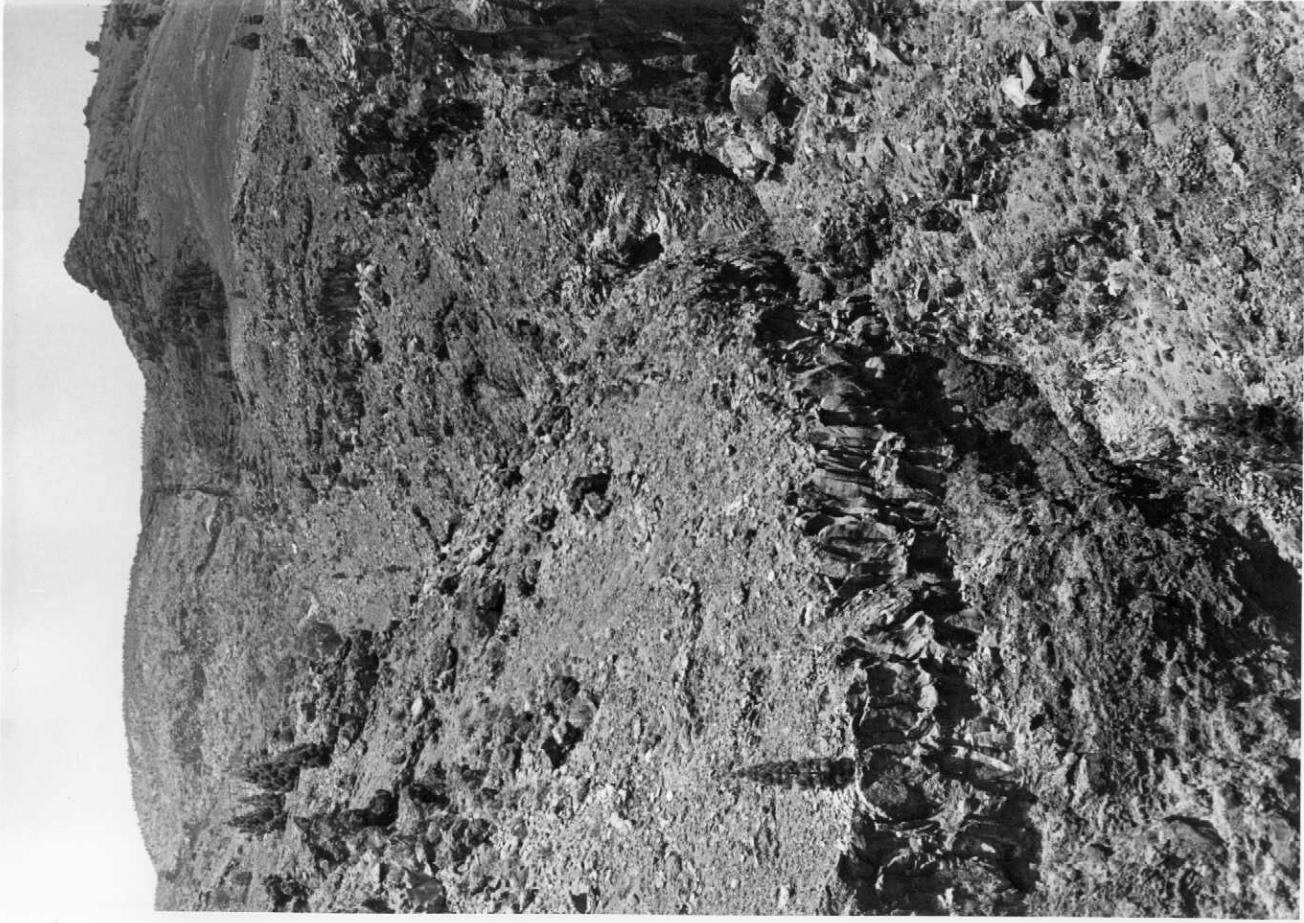
3940-AD-OE-247.- Aspecto general de una zona de coladas Se
rie III en las Coloradas. Cota 1.340 m.
Puede verse la escombrera de la galeria
Morro Negro.



3940-AD-OE-248.- Laderas formadas por coladas de la Serie II en la Montaña de Amarín.



3940-AD-OE-249.- Coladas finas de Serie III en la ladera
de la Montaña de Amorín.



3940-AD-OE-250.- Coladas de Serie II y Serie III en el
Barranco de Guaco.



3940-AD-OE-251.- Contacto entre coladas de la Serie II y la Serie III en la Montaña de Arguazo.



3940-AD-OE-252.- Pico del Cho Marcial (Serie II) y coladas del Volcán las Arenas.





3940-AD-OE-253.- Coladas en la ladera del Barranco de
Teguigo.





3940-AD-OE-255.- Cobertera de punitas sobre coladas serie
III; Vista desde el Mirador de D. Martín.





3940-AD-OE-257.- Piroclastos y coladas de la Serie III
en la Montaña de Anorcheza.



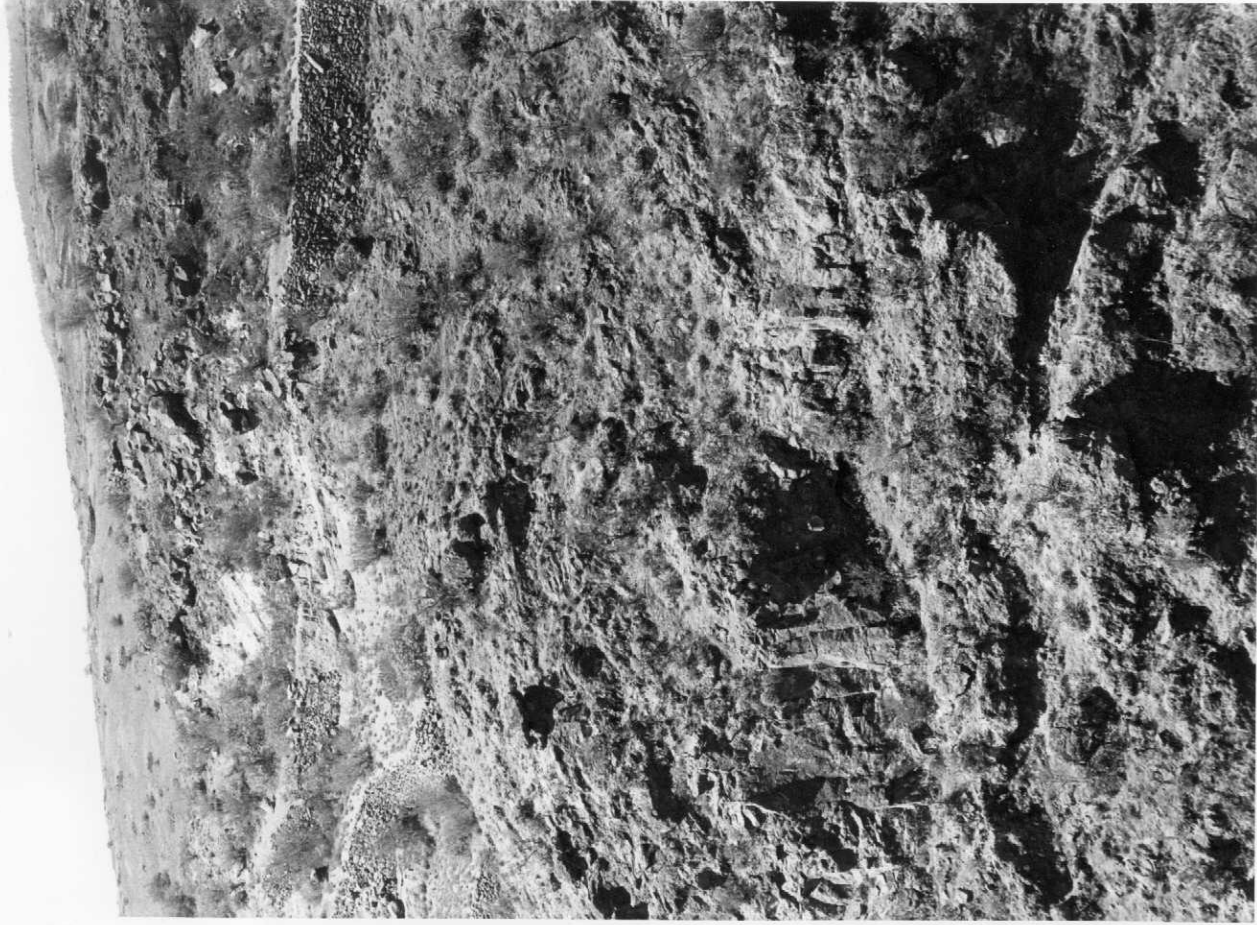
3940-AD-OE-258.- Volcán de Siete Fuentes (Serie III).



3940-AD-OE-262.- Ladera del Barranco del Palmero formada por coladas de la Serie III, con alguna pumita intercalada. Cota 1.550 m.



3940-AD-OE-263.- Margen derecha del Barranco del Palmero
formado por coladas de Serie III con al
guna pumita intercalada.



3940-AD-OE-264.- Coladas de Serie III y pumitas en la ladera S de Montaña Achifira.

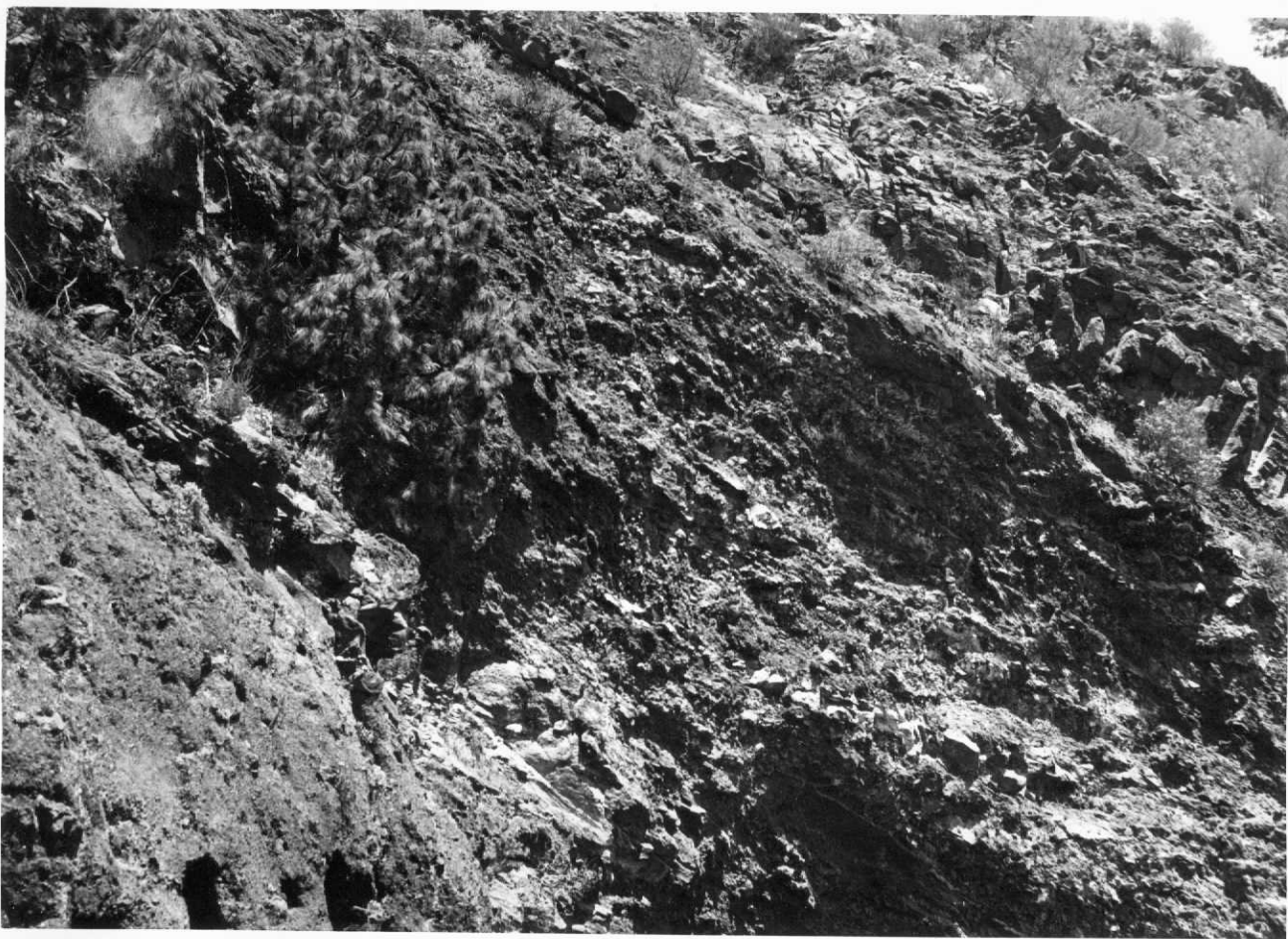


3940-AD-OE-265.- Coladas de Serie III en la zona de Mon-
taña de Achifira.



3940-AD-OE-266.- Coladas de Serie III en el Barranco de

Achifira.



3940-AD-OE-267.- Cono volcánico enterrado de Serie II, recubierto por basaltos en discordancia con otras coladas basálticas de Serie III. Achifira.



3940-AD-OE-268.- Coladas de las Series II y III en el
Barranco de Guaco. Cota 1350.





3940-AD-OE-269.- Cono y coladas basálticas de la Serie

III. Lomo de Las Animas.



3940-AD-OE-270.- Coladas de Serie III y capa superior de
pumitas en el Barranco del Agua. Cota
450 m.



3940-AD-0E-271.- Volcán de Las Coloradas (Serie III) recubierto en parte por mantos de pumitas.



3940-AD-OE-272.- Coladas de Serie III recubiertas por pu-
mitas, en El Reventón.



3940-AD-OE-273.- Cono volcánico de pequeño tamaño recubierto por una capa de pumita en la ladera E de Montaña Grande.



3940-AD-OE-276.- Campo de volcanes de la Serie III en la dorsal. Zona de Montaña de los Malloquines. A la derecha El Teide.



3940-AD-OE-278.- Parte alta de la Montaña de Arguazo, formada por coladas de la Serie III.

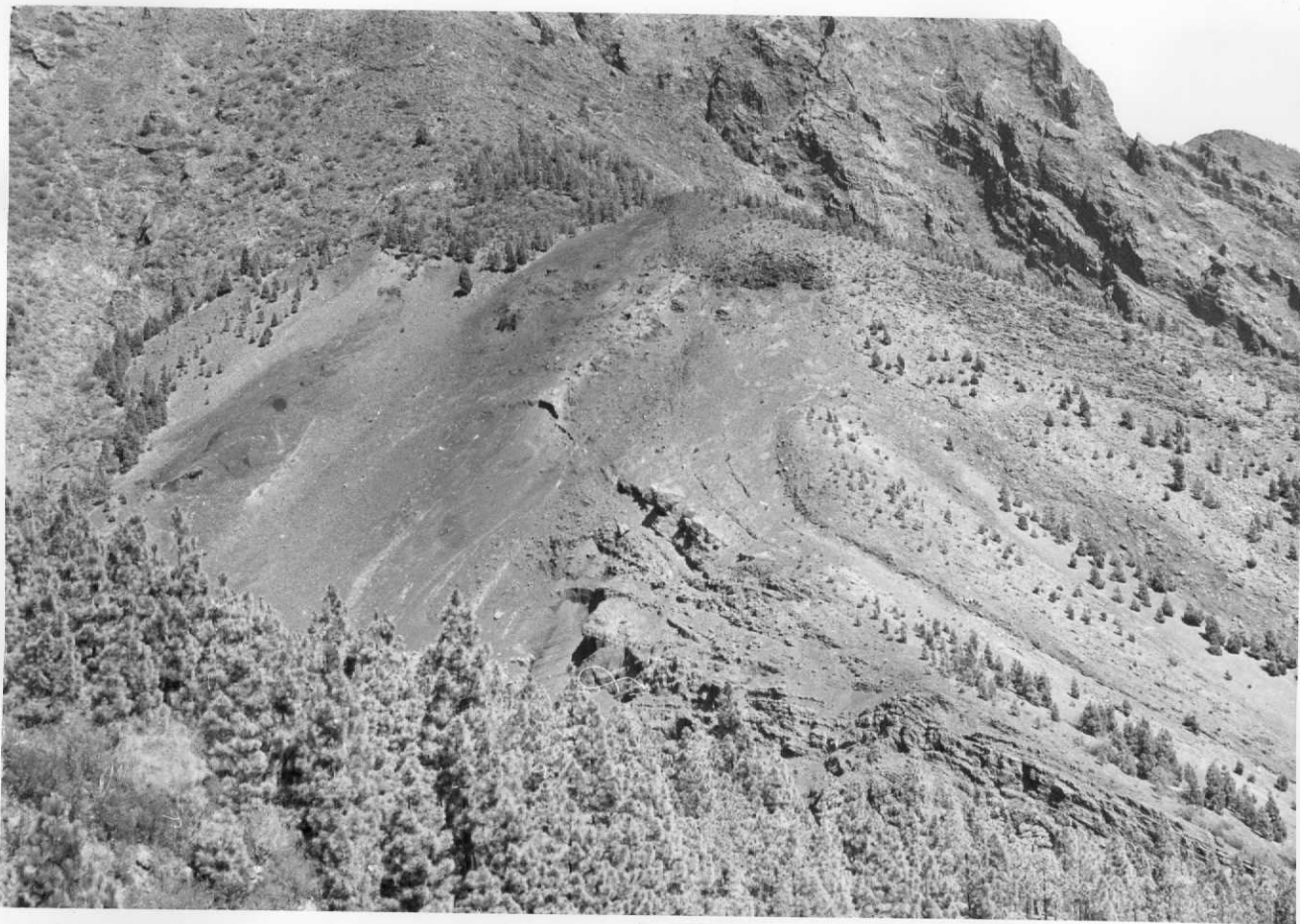




3940-AD-OE-279.- Aspecto parcial de La Ladera de Güimar formada por superposición de coladas basálticas de la Serie I, II y III. Zona de la Montaña de Arguazo y Cabuco.



3940-AD-OE-280.- Cono enterrado de Serie III cruzado por
diques en la cabecera del Barranco de
La Dehesa. Cota 1500 m.



3940-AD-OE-281.- Cono piroclástico de Montaña Eslora
(Serie III).





3940-AD-OE-282.- Cono piroclástico de Montaña Eslora cor_
tado por el Barranco de Tamay.



3940-AD-OE-283.- Aspecto general de La Ladera de Güimar,
formada por coladas de las Series I, II
y III.



3940-AD-OE-284.- Montaña de los Guirres. Cono de Serie
III, recubierto en su parte baja por
pumitas.



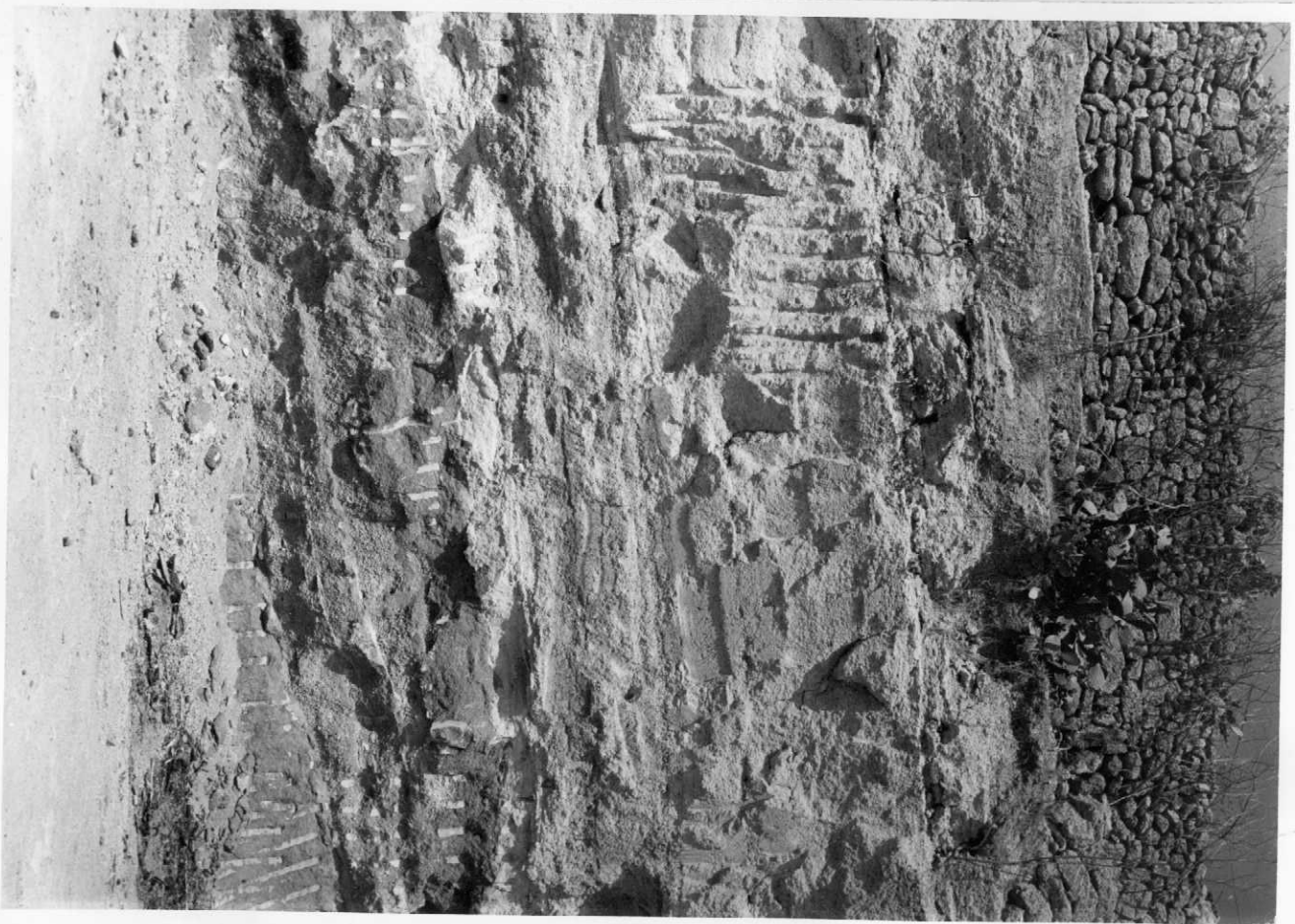
3940-AD-OE-285.- Aluviones con mas de 15 m de espesor visible en el fondo del Barranco del Rio Badajoz.



3940-AD-0E-286,- Cono de Montaña Grande y malpais (al fondo) y Montaña de los Guirres (primer plano).



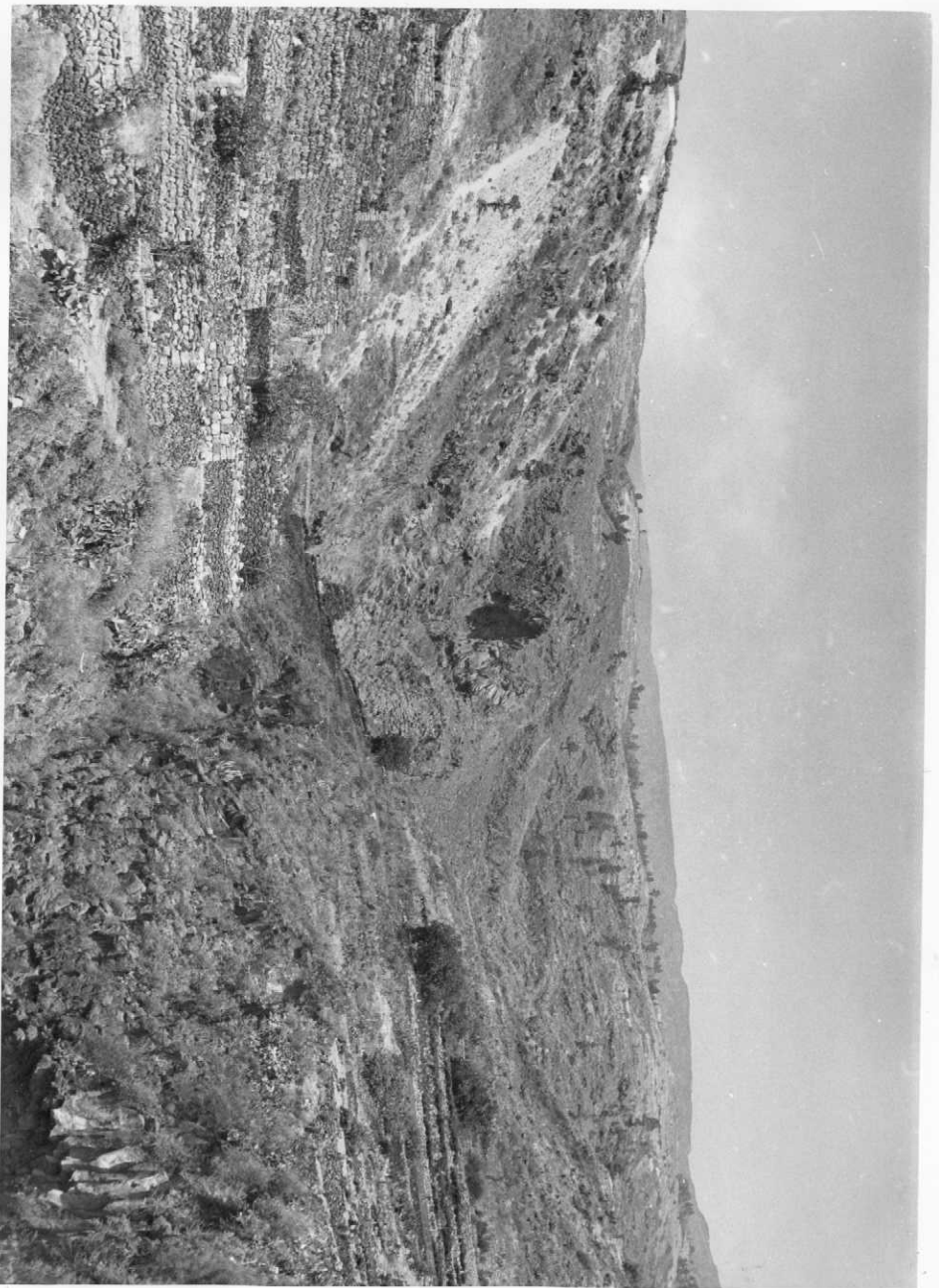
3940-AD-OE-287.- Capas de pumitas superpuestas dentro de la formación pumítica superior que recubre las coladas basálticas de la Serie III. Km. 41,800 en el tramo de carretera de Güimar a Fasnía.



3940-AD-OE-288.- Capas de pumitas de la misma formación anterior, en este caso con mayor espesor.



3940-AD-OE-289.- Coladas Serie III, recubiertas en los lomos por pumitas. Zona de El Escobonal.



3940-AD-OE-290.- Coladas de Serie III y pumitas en el

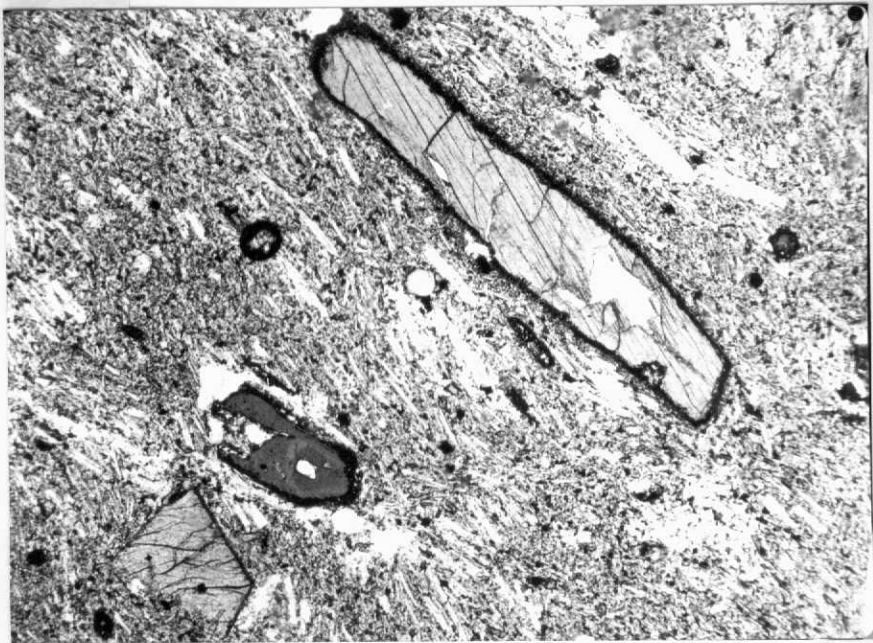
Barranco del Toscal.



3940-AD-OE-291.- Pumitas y coladas de la Serie III, sobre coladas de la Serie II, en el corte de la autopista, en el borde S de la Hoja de Güimar.



3940-AD-OE-292.- Coladas de la Serie II en el corte de
la autopista, en la boca N de los tú-
neles de Güimar.



3940-AD-VA-913.- Fenocristales de anfíbol con aureola de oxidación y de augita en una matriz con abundante plagioclasa, máficos y opacos. LN x 10.